

บทที่ 2

หลักการและทฤษฎี

2.1 การอบแห้งด้วยไอน้ำร้อนbatchยิ่ง

การอบแห้งโดยใช้ไอน้ำร้อนbatchยิ่ง จะมีไอน้ำร้อนbatchยิ่งเป็นแหล่งความร้อนและเป็นตัวกลางในการอบแห้ง ซึ่งการอบแห้งด้วยไอน้ำร้อนbatchยิ่งมีไอน้ำเป็นส่วนประกอบอย่างเดียว ความคันบอยจึงมีค่าเท่ากับความคันไอรวน การระเหยของน้ำในวัสดุจะเกิดขึ้นเมื่อวัสดุได้รับความร้อนจากไอน้ำร้อนbatchยิ่ง จนถึงจุดเดือดหรือสูงกว่าจุดเดือดของน้ำ เป็นผลให้น้ำในวัสดุสามารถระเหยออกໄปได้ ในขณะที่การอบแห้งด้วยลมร้อนตัวกลางในการอบแห้งเป็นอากาศ การระเหยของน้ำในวัสดุจะเกิดขึ้นเมื่อวัสดุได้รับความร้อนจากอากาศ ซึ่งกลไกการระเหยน้ำในแต่ละกระบวนการอบแห้งจะอธิบายละเอียดต่อไป โดยทั่วไปนั้นการอบแห้งแบ่งออกเป็น 3 ช่วง คือ

2.1.1 ช่วงที่เพิ่มอุณหภูมิวัสดุ (Heat up Period)

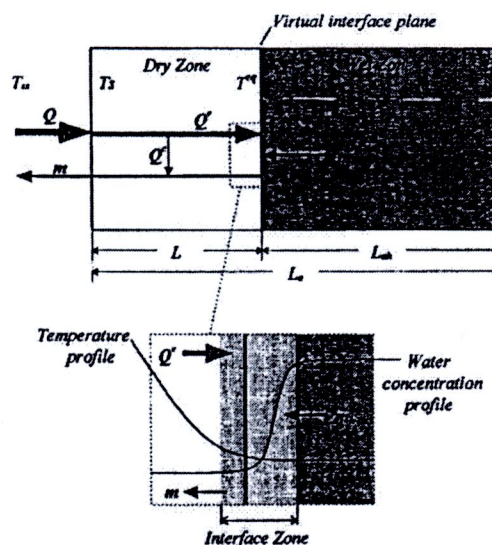
ในช่วงแรกของการอบแห้งความร้อนที่ให้กับวัสดุจะอยู่ในรูปของความร้อนสัมผัส โดยทำให้อุณหภูมิของวัสดุสูงขึ้นจนถึงจุดเดือดของน้ำในวัสดุ ซึ่งจะเป็นช่วงที่ใช้ปริมาณความร้อนสูง และถ้า $Degree\ of\ superheat$ ไม่สูงพอจะทำให้เกิดการควบแน่นของไอน้ำที่ผิววัสดุ ซึ่งจะทำให้ความชื้นในวัสดุเพิ่มขึ้น ซึ่งปริมาณไอน้ำกกลั่นตัวจะขึ้นอยู่กับ การแพร่ความร้อน(Thermal diffusivity, $\alpha = K/\rho c_p$) ของวัสดุ ความชื้นในวัสดุ และ $Degree\ of\ superheat$

2.1.2 ช่วงอัตราการอบแห้งคงที่ (Constant Drying Rate Period)

ในช่วงอัตราการอบแห้งคงที่ สำหรับการอบแห้งโดยใช้ไอน้ำร้อนbatchยิ่ง เป็นการถ่ายเทความร้อนและการถ่ายเทมวลที่เกิดขึ้นเฉพาะที่รอบๆ ผิวของวัสดุ การนำความร้อนจะผ่านจากไอน้ำไปยังที่ผิวด้านนอกของวัสดุ โดยมีผลต่างของอุณหภูมิระหว่างไอน้ำร้อนbatchยิ่งกับผิววัสดุเป็นตัวผลักดัน และเนื่องจากโดยรอบวัสดุเดิม ไปโดยใช้ไอน้ำร้อนbatchยิ่ง ดังนั้นการถ่ายเทความชื้นที่ผิวด้านนอกจึงไม่ได้เกิดจากการแพร่เหมือนกับการอบแห้งด้วยอากาศร้อน แต่เกิดจากการระเหยน้ำที่ผิวด้านนอกของวัสดุไปในทันที โดยมีกลไกการพานวนของน้ำมาจากภายในวัสดุ อุณหภูมิของวัสดุ จะคงที่ที่จุดเดือดของน้ำที่ความคันในระบบจนกระทั่งความชื้นของวัสดุลดลงถึงความชื้นคงที่ ความร้อนที่ถ่ายเทโดยการพาจากไอน้ำร้อนbatchยิ่งไปยังวัสดุมีค่าเท่ากับความแตกต่างของอุณหภูมิของไอน้ำร้อนbatchยิ่ง

2.1.3 ช่วงอัตราการอบแห้งลดลง (Falling Drying Rate Period)

ในช่วงอัตราการอบแห้งลดลงความชื้นของวัสดุมีค่าต่ำกว่าความชื้นวิกฤต การถ่ายเทความร้อนและการถ่ายเทน้ำไม่ได้เกิดขึ้นเฉพาะที่ผิวของวัสดุเท่านั้น อัตราการอบแห้งลดลงจะเกิดเมื่อปริมาณน้ำในวัสดุมีน้อยลง ทำให้ชั้นวัสดุซึ่งถัดจากผิวด้านนอกแห้ง เรียกว่า ชั้นแห้ง (Dry layer) การนำความร้อนจะผ่านจากไอน้ำไปยังผิวด้านนอกของวัสดุชั้นแห้งและภายในวัสดุชั้นเปียกหรือโซนเปียก (Wet zone) ตามลำดับ ดังรูปที่ 2.1 โดยมีผลต่างของอุณหภูมิระหว่างไอน้ำร้อนယวดยิ่งกับแต่ละโซนดังกล่าวในวัสดุเป็นตัวพลักดัน ในการพิจารณาถ่ายเทความชื้นจะเกิดขึ้นเฉพาะบริเวณชั้นแห้ง โดยการระเหยน้ำในชั้นแห้งไปในทันที โดยมีผลต่างของความดันไอน้ำร้อนယวดยิ่งและความดันไอน้ำในวัสดุเป็นตัวพลักดัน ชั้นแห้งจะแผ่ขยายเข้าไปยังโซนเปียก ภายในโซนเปียกจะไม่มีการระเหยเกิดขึ้น นอกจากนี้ ชั้นแห้งยังเพิ่มความด้านการนำความร้อน ทำให้อัตราการอบแห้งลดลง



รูปที่ 2.1 ลักษณะทางกายภาพของชั้นแห้งและโซนเปียกในการอบแห้งโดยใช้ไอน้ำร้อนယวดยิ่ง
(Elustondo et al., 2001)

ในระหว่างการอบแห้งโดยใช้ไอน้ำร้อนယวดยิ่ง ไอน้ำจะต้องมีอุณหภูมิสูงกว่าจุดควบแน่นของน้ำตัดอดเวลาเพื่อป้องกันการควบแน่นของไอน้ำบนผิววัสดุ อย่างไรก็ตามในช่วงแรกอาจมีการควบแน่นของไอน้ำที่ผิววัสดุเมื่อเริ่มใส่วัสดุเข้าไปในห้องอบแห้ง ซึ่งปัญหานี้สามารถแก้ไขโดยให้ความร้อนแก้วัสดุก่อนทำการอบแห้ง

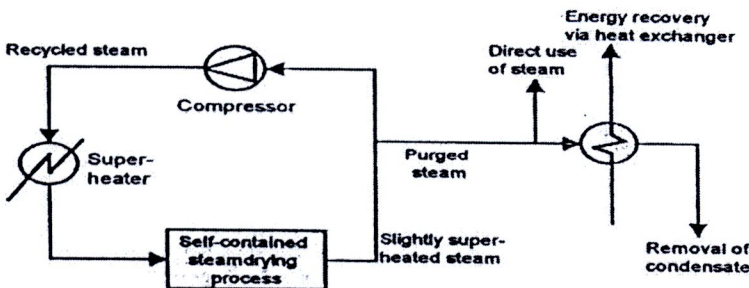
อย่างไรก็ตามสำหรับกระบวนการอบแห้งโดยใช้ไอน้ำร้อนယวดยิ่งและลมร้อนแบบไหนจะมีอัตราการอบแห้งเร็วกว่ากันขึ้นอยู่กับ

1. ปริมาณไอน้ำควบแน่นที่เกิดขึ้นบนผิววัสดุในช่วงเพิ่มอุณหภูมิวัสดุ ถ้ามีปริมาณมาก จะทำให้เวลาในการอบแห้งเพิ่มขึ้น ซึ่งสามารถลดปัญหานี้ได้โดยให้ความร้อนแก้วัสดุอบแห้งก่อนทำการทดลอง

2. อุณหภูมิของตัวกลางสูงหรือต่ำกว่า Inversion temperature ถ้าอุณหภูมิของไอน้ำร้อน บวคยิ่งสูงกว่า inversion temperature การอบแห้งด้วยไอน้ำร้อนบวคยิ่งจะเร็วกว่าลมร้อน

3. ความคันไioxของไอน้ำร้อนบวคยิ่งในระบบอบแห้ง ถ้าใช้ความคันไอน้ำร้อนบวคยิ่ง เพิ่มขึ้นค่าสัมประสิทธิ์การถ่ายเทความร้อนก็จะสูงตาม ทำให้การอบแห้งเร็วขึ้น

รูปที่ 2.2 แสดงตัวอย่างระบบอบแห้งโดยใช้ไอน้ำร้อนบวคยิ่ง ไอน้ำร้อนบวคยิ่งที่ผ่านห้องอบแห้งจะนำกลับมาใช้ใหม่ในระบบ ส่วนไอน้ำที่ระเหยจากวัสดุยังมีความร้อนอยู่ คือความร้อนแห่งที่เกิดจากการระเหย ซึ่งสามารถนำมาใช้เป็นตัวกลางในระบบได้ ช่วยเพิ่มประสิทธิภาพการใช้พลังงานให้สูงขึ้น จากนั้นไอน้ำจะไหลเวียนผ่านการเพิ่มความร้อน ปริมาณน้ำที่ระเหยที่มากเกิน พอกและอุณหภูมิขึ้งสูงอยู่ อาจนำไปใช้ในงานอื่นๆ ได้อีก ซึ่งเป็นการนำพลังงานกลับมาใช้อย่างมีประสิทธิภาพ



รูปที่ 2.2 ระบบการอบแห้งโดยใช้ไอน้ำร้อนบวคยิ่ง

(Deventer and Heijmans, 2001)

2.2 ปัจจัยที่มีผลต่อการอบแห้งด้วยไอน้ำร้อนบวคยิ่ง

ในที่นี้จะกล่าวถึงปัจจัยหลักที่มีอิทธิพลต่อการอบแห้งโดยใช้ไอน้ำร้อนบวคยิ่ง ในด้านการอบแห้งและคุณภาพของผลิตภัณฑ์ ซึ่งปัจจัยที่มีอิทธิพลต่อการอบแห้งดังกล่าวได้แก่ อุณหภูมิความเร็ว และความดันของไอน้ำร้อนบวคยิ่ง

1. อุณหภูมิของไอน้ำร้อนယดยิ่ง

Li et al. (1999) ได้ทำการศึกษาผลของการเปลี่ยนแปลงอุณหภูมิและค่าสัมประสิทธิ์การถ่ายเอกสารร้อนของไอน้ำร้อนယดยิ่งที่ใช้อบบนบนเคี้ยว (Tortilla chips) พบว่าอุณหภูมิของไอน้ำร้อนယดยิ่งมีผลต่ออัตราการอบแห้งแห่นบนมากกว่า เมื่อเปรียบเทียบกับผลของการเปลี่ยนค่าสัมประสิทธิ์การถ่ายเอกสารร้อนกล่าวคือ อุณหภูมิของไอน้ำร้อนယดยิ่งที่สูงขึ้นจะมีผลทำให้วัสดุมีความแข็ง เกิดจำนวนรูพรุนมากกว่า ขนาดของรูพรุนใหญ่กว่า และการลดตัวจะน้อยกว่าที่อุณหภูมิของไอน้ำร้อนယดยิ่งต่ำกว่า เนื่องจากไอน้ำที่อุณหภูมิสูงจะทำให้น้ำในวัสดุออกໄปได้มากและรวดเร็ว โครงสร้างภายในจึงมีรูพรุนจำนวนมากและใหญ่เป็นผลให้วัสดุในที่นี่คือแห่นบนมีลักษณะของตัวมากขึ้น การลดตัวของแห่นบนน้อยลง จะทำให้ผลของค่าสัมประสิทธิ์การถ่ายเอกสารร้อนมีผลไม่นักต่อคุณภาพคงกล่าว ทั้งนี้ความสัมพันธ์ที่แท้จริงขึ้นกับชนิดของวัสดุและรายละเอียดโครงสร้างภายในด้วย

Iyota et al. (2001) ได้ทำการศึกษาการอบแห้งมันฝรั่งโดยใช้ไอน้ำร้อนယดยิ่งและลมร้อนที่อุณหภูมิ 170 และ 240°C โดยเปรียบเทียบอัตราการอบแห้ง คุณภาพด้านสีและโครงสร้างของมันฝรั่ง พบว่า เมื่ออุณหภูมิเพิ่มขึ้นการอบแห้งจะใช้เวลาน้อยลง การเพิ่มขึ้นของอุณหภูมิในการอบแห้ง ด้วยไอน้ำร้อนယดยิ่งและลมร้อน พบว่าที่อุณหภูมิเดียวกันการอบแห้งโดยใช้ไอน้ำร้อนယดยิ่งจะเร็วกว่าการอบแห้งด้วยลมร้อน

2. ความเร็วของไอน้ำร้อนယดยิ่ง

ความเร็วของไอน้ำร้อนယดยิ่งเป็นปัจจัยที่มีผลต่อการอบแห้งโดยพบว่าความเร็วที่มากขึ้นช่วยเพิ่มค่าสัมประสิทธิ์การถ่ายเอกสารร้อน เมื่อความเร็วของไอน้ำร้อนယดยิ่งมีค่าสูงขึ้นจะพากเพียรชี้ที่ผิววัสดุไปได้เร็ว ทำให้การถ่ายเอกสารเกิดขึ้นได้เร็วเป็นการลดเวลาในการอบแห้ง โดยวิธี Impingement เป็นเทคนิคที่ดีตัวหนึ่งที่ใช้ในการอบแห้ง ลักษณะสำคัญคือ จะมีหัวฉีด (Nozzle) เมื่อตัวกลางผ่านหัวฉีดจะมีความเร็ว 10 – 100 m/s และอุณหภูมิ 100 - 350°C ซึ่งเป็นความเร็วและอุณหภูมิที่สูง Moreira (2001) ได้ทำการศึกษาการอบแห้งมันฝรั่งแห่นบางและบนบนเคี้ยวด้วยไอน้ำร้อนယดยิ่ง โดยวิธี Impingement พบว่า เมื่ออุณหภูมิและค่าสัมประสิทธิ์การถ่ายเอกสารร้อนเพิ่มขึ้น มันฝรั่งแห่นบางจะใช้เวลาในการอบแห้งได้เร็วขึ้น ส่งผลให้การสูญเสียคุณค่าทางอาหาร คือ วิตามินซี น้อยลง

3. ความดันของไอน้ำร้อนယดยิ่ง

ความดัน ไอกองไอน้ำร้อนယดยิ่ง มีความสำคัญในการอบแห้ง เนื่องจากเป็นตัวกำหนดจุดเดือดของน้ำที่ระเหยออกจากวัสดุ ในกรณีที่ความดันไอน้ำประมาณ 1 bar เท่ากับความดันบรรยากาศ ซึ่งอุณหภูมิจุดเดือดของน้ำประมาณ 100°C อุณหภูมิไอน้ำร้อนယดยิ่งที่ใช้จะต้องมากกว่า 100°C การอบแห้งวิธีนี้ไม่เหมาะสมกับวัสดุที่ไวต่อความร้อน เพราะคุณภาพของวัสดุมีการสูญเสีย แต่สามารถปรับปรุงและพัฒนาการใช้ไอน้ำร้อนယดยิ่งเพื่ออบแห้งวัสดุที่ไวต่อความร้อน Elustondo et al. (2001) ได้ทดลองทำการอบแห้ง กล้วย แอปเปิล มันสำปะหลัง มันฝรั่ง ไม้ และถุง โดยใช้ความดันต่ำกว่าบรรยากาศ (SAPSS : subatmospheric pressure superheated steam) และสร้างแบบจำลองทางคณิตศาสตร์เพื่อทำนายการอบแห้งและเปรียบเทียบผลจากแบบจำลองกับการทำทดลอง โดยใช้ความดันช่วง 0.1 – 0.2 บรรยากาศ (boiling point 45 - 60°C) และใช้อุณหภูมิอบแห้งของไอน้ำร้อนယดยิ่งสูงกว่าจุดเดือดในช่วง 60 – 90°C พบว่า สามารถอบแห้งได้โดยเฉพาะวัสดุที่มีรูพรุน การทำน้ำออกจะง่ายและช่วยลดการเปลี่ยนแปลงปริมาตรได้ และแบบจำลองสามารถทำนายได้กับทุกวัสดุที่ทำการทดลอง การลดความดันทำได้โดยติดตั้งปั๊มสูญญากาศที่ห้องอบแห้ง

2.3 ข้อดีและข้อเสียของการอบแห้งโดยใช้ไอน้ำร้อนယดยิ่ง

ข้อดีของการอบแห้งโดยใช้ไอน้ำร้อนယดยิ่ง

- ไม่เกิดปฏิกิริยา oxidation หรือ combustion ในช่วงการอบแห้ง ซึ่งหมายถึงไม่เกิดอันตรายจากการติดไฟ และการระเบิด และนักจะให้ผลิตภัณฑ์ที่อบแห้งมีคุณภาพดี
- สามารถทำให้มีอัตราการอบแห้งที่สูงทั้งช่วงอัตราการอบแห้งคงที่ (Constant Rate Drying Period) และช่วงอัตราการอบแห้งลดลง (Falling Rate Drying Period) โดยขึ้นกับอุณหภูมิของไอน้ำร้อนယดยิ่ง
- ขั้นตอนการอบแห้งด้วยไอน้ำร้อนယดยิ่งยังถือว่าเป็นกระบวนการ Pasteurization, Sterilization หรือ Deodorization ของผลิตภัณฑ์อาหาร
- ประสิทธิภาพการใช้พลังงานสูง เนื่องจากมีการนำความร้อนแฟ่ของกรากลายเป็นไออกลั่นมาใช้ใหม่ จึงทำให้การสูญเสียพลังงานลดลง

ข้อเสียของการอบแห้งโดยใช้ไอน้ำร้อนယดยิ่ง

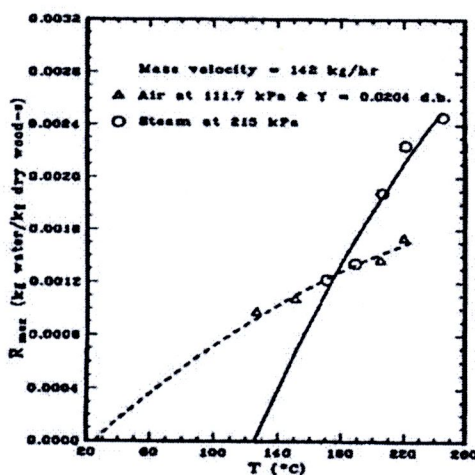
- ไม่เหมาะสมสำหรับวัสดุที่ไวต่อความร้อน เพราะคุณภาพจะเสียหายเนื่องจากความร้อนสูง แต่มีเทคนิคการอบแห้งที่ใช้กับวัสดุชนิดนี้ โดยลดความดันทำให้สามารถอบแห้งที่อุณหภูมิลดลงได้

2. ต้นทุนในการสร้างเครื่องสูง

2.4 อุณหภูมิอินเวอร์ชัน (Inversion Temperature)

การอบแห้งโดยใช้ไอน้ำร้อนbatchยังจะให้อัตราการอบแห้งสูงกว่าการอบแห้งด้วยลมร้อน เมื่อการอบแห้งโดยใช้ไอน้ำร้อนbatchยังมีอุณหภูมิอ่อนแห้งสูงกว่าอุณหภูมิอินเวอร์ชัน (Inversion Temperature) อย่างไรก็ตาม การอบแห้งโดยใช้ไอน้ำร้อนbatchยังไม่เหมาะสมที่จะใช้กับวัสดุที่ไวต่อการรับความร้อน เนื่องจากอุณหภูมิที่สูง จะทำให้คุณภาพของผลิตภัณฑ์เสียหาย

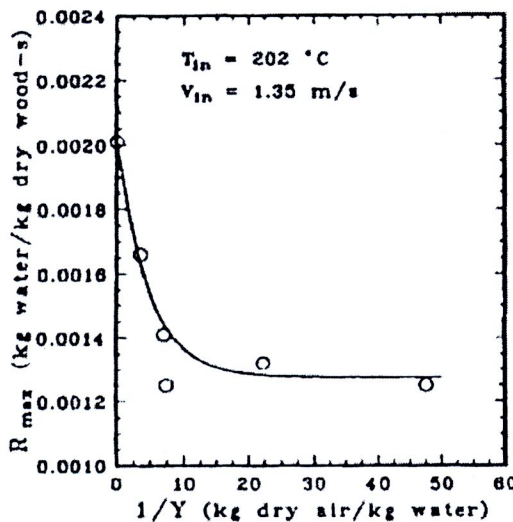
ในการเปรียบเทียบการอบแห้งด้วยไอน้ำร้อนbatchยังและอากาศศร้อน ที่อุณหภูมิอ่อนแห้งต่างๆ คำแนะนำอุณหภูมิที่อัตราการอบแห้งวัสดุด้วยตัวกลางทั้งสองชนิดมีค่าเท่ากัน เรียกอุณหภูมิ คำแนะนำนี้ว่าอุณหภูมิอินเวอร์ชัน (Inversion Temperature) (Sheikholeslami and Watkinson, 1992) ในกรณีน้ำอุณหภูมิอินเวอร์ชันโดยวิธีการทางทฤษฎีพบว่าที่ความเร็วเชิงมวลของอากาศศร้อนและไอน้ำร้อนbatchยังเท่ากับ 142 kg/hr อุณหภูมิอินเวอร์ชันจะมีค่าประมาณ 180°C ถ้า อุณหภูมิอ่อนแห้งสูงกว่านี้พบว่า การอบแห้งด้วยไอน้ำร้อนbatchยังจะมีอัตราการอบแห้งสูงกว่าการอบแห้งด้วยอากาศศร้อน แต่ถ้าอุณหภูมิอ่อนแห้งต่ำกว่านี้ การอบแห้งด้วยอากาศศร้อนจะมีอัตราการอบแห้งสูงกว่าการอบแห้งด้วยไอน้ำร้อนbatchยังซึ่งแสดงดังรูปที่ 2.3



รูปที่ 2.3 เปรียบเทียบอัตราการอบแห้งระหว่างการอบแห้งด้วยไอน้ำร้อนbatchยังกับอากาศ
(Sheikholeslami and Watkinson, 1992)



นอกจากนี้ Sheikholeslami and Watkinson (1992) ยังได้ทำการศึกษาผลกระบวนการของความชื้นของอากาศต่ออัตราการอบแห้ง พบว่า ที่อุณหภูมิสูงกว่าอุณหภูมิอินเวอร์ชันเมื่อความชื้นของอากาศลดลงทำให้อัตราการอบแห้งลดลงด้วย ดังรูปที่ 2.4



รูปที่ 2.4 แสดงความสัมพันธ์ระหว่างอัตราการอบแห้งและความชื้นของอากาศ

(Sheikholeslami and Watkinson, 1992)

ดังนั้นจึงสรุปได้ว่า การอบแห้งด้วยอากาศร้อนจะมีประสิทธิภาพดีกว่าการอบแห้งด้วยไอน้ำร้อนbatch เมื่ออากาศร้อนมีความชื้นต่ำที่อุณหภูมิค่าก้าวว่าอุณหภูมิอินเวอร์ชัน นอกจากนี้ยังพบว่า ผลงานวิจัยของ Sheikholeslami and Watkinson (1992) พบว่าสอดคล้องกับงานวิจัยของ Yoshida and Hyodo (1970) ซึ่งทำการทดลองหาอุณหภูมิอินเวอร์ชัน โดยหาอัตราการระเหยของน้ำจาก Wetted wall column ในตัวกล่อง 3 ชนิด คือ อากาศ อากาศชื้น และไอน้ำร้อนbatch เมื่อ พบว่าที่ อุณหภูมิสูงกว่าอุณหภูมิค่าหนึ่ง อัตราการระเหยของน้ำในไอน้ำร้อนbatch เมื่อจะสูงกว่าในอากาศ อุณหภูมิ ณ ตำแหน่งนั้นคือ อุณหภูมิอินเวอร์ชัน ที่อุณหภูมิอินเวอร์ชันอัตราการระเหยของน้ำจะไม่ขึ้นกับความชื้นของตัวกล่อง นั่นคือ อัตราการระเหยของน้ำเมื่อใช้ตัวกล่องแตกต่างกันจะมีค่าเท่ากัน เมื่ออัตราการไอลด์ความล宥ของตัวกล่องมีค่าคงที่

อย่างไรก็ตามในทางปฏิบัติพบว่าสำหรับการอบแห้งวัสดุชนิดต่างๆและอบแห้งด้วยวิธีการ ต่างๆอุณหภูมิอินเวอร์ชันไม่ใช่ค่า 180°C เสมอไป งานวิจัยอื่นๆที่เกี่ยวข้องกับอุณหภูมิอินเวอร์ชันที่ได้จากการทดลองมีดังต่อไปนี้

ผังรังค์ อังกินบัว (2544) ศึกษาจนผลศาสตร์การอบแห้งของเนื้อหมูและปลาร้าด้วยไอน้ำร้อนbatch เมื่อ และอากาศร้อน โดยมีเงื่อนไขการทดลองดังนี้ อุณหภูมิไอน้ำร้อนbatch เมื่อ และอากาศร้อน

สำนักงานคณะกรรมการวิจัยแห่งชาติ
ห้องสมุดงานวิจัย
วันที่ 15 ม.ค. 2555
เลขทะเบียน..... 250312
เลขเรียกหนังสือ.....

คือ 120, 140 และ 160°C อัตราการไหหลังปริมาตร $0.071 \text{ m}^3/\text{s}$ น้ำหนักผลิตภัณฑ์ 0.2 kg ทำการทดลองอบแห้งเพื่อทดสอบความชื้นเนื้อหมูจาก 3.5% db. ให้เหลือความชื้นสุดท้าย 0.25% db. และลดความชื้นปลาาร้าจาก 2.4% db ให้เหลือความชื้นสุดท้าย 0.04% db. จากการทดลองพบว่า อัตราการอบแห้งปลาาร้าด้วยไอน้ำร้อนbatch ที่อุณหภูมิ 120 และ 140°C ต่ำกว่าการอบแห้งด้วยอากาศร้อน และมีค่าไกลส์เคียงกันที่อุณหภูมิ 160°C ในขณะที่อัตราการอบแห้งเนื้อหมูด้วยไอน้ำร้อนbatch ที่ต่ำๆ อุณหภูมิอบแห้งต่ำกว่าการอบแห้งด้วยอากาศร้อน ดังนั้นอุณหภูมิอินเวอร์ชันสำหรับปลาาร้า และเนื้อหมูมีค่าเท่ากัน 160°C และสูงกว่า 160°C ตามลำดับ

Iyota et al. (2001) ทดลองอบแห้งมันฝรั่งด้วยไอน้ำร้อนbatch ยังและอากาศร้อน โดยอุณหภูมิไอน้ำร้อนbatch ยังและอากาศร้อนคือ 170 และ 240°C จากการทดลองพบว่า อัตราการอบแห้งมันฝรั่งด้วยไอน้ำร้อนbatch ยังที่อุณหภูมิ 170°C จะต่ำกว่าการอบแห้งด้วยอากาศร้อน และมีค่าไกลส์เคียงกันที่อุณหภูมิ 240°C ดังนั้นอุณหภูมิอินเวอร์ชันมีค่าประมาณ 240°C

Tarnawaki et al. (1996) ทดลองเปรียบเทียบการอบแห้งกระดาษและกระดาษอัดแข็งด้วยไอน้ำร้อนbatch ยังและอากาศร้อน โดยศึกษาการเปลี่ยนค่าของอุณหภูมิอบแห้งระหว่าง 100°C ถึง 600°C กับการเปลี่ยนค่าของความเร็วในการฉีดไอน้ำ พบว่า ถ้าอบแห้งที่อุณหภูมิสูงกว่า 245°C การอบแห้งด้วยไอน้ำร้อนbatch ยังจะเร็วกว่าอากาศร้อน

อิศเรศ ธุชกัลยา (2543) ออกแบบสร้างและทดสอบเครื่องอบแห้งข้าวเปลือก โดยเทคนิคฟلوอิเดเบนด์ด้วยไอน้ำร้อนbatch ยัง สร้างต่างๆ ของการศึกษาทดลองคือ ความชื้นเริ่มต้น 25 - 43% db. ความชื้นสุดท้าย 16 - 28 % db. ความสูงเบดข้าวเปลือก 10 - 15 cm. อุณหภูมิไอน้ำร้อนbatch ยัง 150 - 170°C พบว่า ความสูงเบดมีผลต่ออุณหภูมิอินเวอร์ชัน โดยความสูงเบดเพิ่ม อุณหภูมิอินเวอร์ชันเพิ่มขึ้น โดยอุณหภูมิอินเวอร์ชันที่ทำการทดลองอยู่ในช่วง 150 - 170°C

จากการวิจัยที่ผ่านมาสรุปได้ว่า อุณหภูมิอินเวอร์ชันมีค่าไม่คงที่ แปรเปลี่ยนไปตามชนิดของวัสดุอบแห้งและลักษณะทางกายภาพของการอบแห้ง ซึ่งอุณหภูมิอินเวอร์ชันที่สร้างต่างๆ แสดงในตารางที่ 3 ซึ่งรวมโดย Schwartze and Brocker (2000) จากตารางที่ 2.1 จะเห็นได้ว่า ลักษณะการไหหลังตัวกลางมีผลต่ออุณหภูมิอินเวอร์ชัน เมื่อการไหหลังตัวกลางเป็นการไหแบบปั่นป่วนพบว่า อุณหภูมิอินเวอร์ชันมีค่าต่ำกว่าการไหหลังตัวกลางที่เป็นแบบราบเรียบ ที่เป็นเช่นนี้เนื่องจากการไหแบบปั่นป่วนนั้นมีค่า Reynold number สูง ซึ่งมีผลทำให้สัมประสิทธิ์การถ่ายเทความร้อน (heat transfer coefficient, h) มีค่าสูงเช่นกัน ทำให้อัตราการถ่ายเทความร้อนมีค่าสูงตามไปด้วย

ตารางที่ 2.1 ค่าอุณหภูมิอินเวอร์ชัน (Inversion temperature) จากงานวิจัยต่างๆ (Schwartzze and Brocker, 2000)

Reference	Theory/Experimental	Description	T inversion (°C)
Schwartzze	Theory	Wetted wall column, turbulent	199
Yoshida and Hyodo	Experimental	Wetted wall column, turbulent	160-176
Chow and Chung	Theory	Flat plate, laminar	250
Chow and Chung	Theory	Flat plate, turbulent	190
Schwartzze and Brocker	Theory	Flat plate, turbulent	200
Haji and Chow	Experimental	Flat plate, turbulent	170-220
Hasen et al.	Theory	Moving flat surface and gas, laminar	230-260
Al-Taleb et al.	Theory	Moving flat surface, laminar	225
Wu et al.	Theory	Wedge, turbulent	200
Ramamurthy	Experimental	Impinging jets, laminar	218-230
Bond et al.	Experimental	Impinging jets, turbulent	175
Sheikholeslami and Watkinson	Theory	Equilibrium approach	164

2.5 คุณภาพของผลิตภัณฑ์อาหาร

Arun and Sirikalaya (2000) ศึกษาคุณภาพของผลิตภัณฑ์อาหารซึ่งเป็นองค์ประกอบที่สำคัญอันหนึ่งต่อการพัฒนาอุตสาหกรรมทางอาหาร การพิจารณาด้านคุณภาพมีอยู่หลายลักษณะ ซึ่งอุปนิสัยและลักษณะของผลิตภัณฑ์อาหารแต่ละอย่างด้วย ซึ่งสมบัติในแต่ละด้านมี

ความสัมพันธ์กัน เมื่อสมบดีตัวใดตัวหนึ่งเปลี่ยนจะทำให้สมบดีตัวอื่นเปลี่ยนแปลงตามด้วย สมบดีด้านคุณภาพสามารถแบ่งได้เป็น

- สมบดีด้านโครงสร้าง (Density, Porosity, Pore, Specific Volume)
- สมบดีด้านสีและสภาพปรากฏ (Color, Appearance)
- สมบดีด้านเนื้อสัมผัส (Compression Test, Stress Relaxation Test, Tensile Test)
- สมบดีด้านการคืนตัว (Rehydration Rate, Rehydration Capacity)
- สมบดีด้านความร้อน (State of Product : Glassy, Crystalline, Rubbery)
- สมบดีด้านประสาทสัมผัส (Aroma, Taste, Flavor)
- ลักษณะด้านโภชนาการ (Vitamins, Proteins)

ในที่นี้จะกล่าวถึงคุณภาพบางตัวที่มีการศึกษาเพื่อเพิ่มความเข้าใจในคุณภาพนั้นๆ ได้

ดังนี้

2.5.1 โครงสร้างของผลิตภัณฑ์

ความหนาแน่นของผลิตภัณฑ์ขึ้นอยู่กับส่วนประกอบของผลิตภัณฑ์ และสภาวะการอบแห้ง โดยทั่วไปความหนาแน่นของผลิตภัณฑ์จะเป็นฟังก์ชันของความชื้นของผลิตภัณฑ์ การเปลี่ยนแปลงความหนาแน่นระหว่างการอบแห้งนั้นมีผลมาจากการหดตัวของผลิตภัณฑ์ขณะอบแห้ง รูปร่างที่เปลี่ยนไปหรือการหดตัวดังกล่าวเกิดขึ้นจากการสูญเสียความชื้นในผลิตภัณฑ์ ร่วมกับการระเหยน้ำ การหดตัวดังกล่าวยังมีผลต่อรูพรุนในผลิตภัณฑ์ด้วย การเปลี่ยนแปลงรูพรุนนั้นมีปัจจัยอื่นๆ อีกมากนัก ซึ่งปัจจัยที่มีผลต่อสมบดีด้านโครงสร้าง ได้แก่ เงื่อนไขการอบแห้ง ความชื้นในวัสดุและกระบวนการในการอบแห้ง

2.5.2 สีของผลิตภัณฑ์

การเปลี่ยนแปลงสีระหว่างการอบแห้งเกิดขึ้นได้จากการระเหยน้ำออกจากผิวสุดระหว่างการอบแห้ง รวมถึงการเปลี่ยนแปลงเนื่องจากการเกิดปฏิกิริยาต่างๆ ปฏิกิริยาการเกิดสีน้ำตาล (Browning) เป็นปฏิกิริยาเคมีที่ซับซ้อน ไม่ได้เป็นปฏิกิริยาปูนภูมิแต่เป็นปฏิกิริยาทุติยภูมิ หลายปฏิกิริยาร่วมกัน สารสีน้ำตาลที่เกิดขึ้นรวมเรียกว่า Melanins หรือ Malanoidins ซึ่งเป็นสารโพลิเมอร์ที่ไม่อมดัว

โดยทั่วไปการเกิดสีน้ำตาลในผักผลไม้และผลิตภัณฑ์อาหารมี 2 แบบ คือ ปฏิกิริยาการเกิดสีน้ำตาลที่ไม่ได้มาจากเอนไซม์ (Non-Enzymatic Browning) และ ปฏิกิริยาการเกิดสีน้ำตาลเนื่องมาจากเอนไซม์ (Enzymatic Browning)

ก. ปฏิกิริยาการเกิดสีน้ำตาลเนื่องมาจากเอนไซม์ (Enzymatic Browning)

ปฏิกิริยาการเกิดสีน้ำตาลเนื่องมาจากเอนไซม์เป็นการเปลี่ยนสีที่เป็นผลมาจากการที่สารประกอบฟีโนอลิก (Phenolic Compounds) ในเซลล์ของพืชเกิดปฏิกิริยาออกซิเดชันแล้วเปลี่ยนเป็นสารประกอบสีน้ำตาล โดยเอนไซม์สำคัญที่เกี่ยวข้องกับปฏิกิริยาการเกิดสีน้ำตาล ได้แก่ เอนไซม์โพลีฟีโนอลออกซิเดส (Polyphenol Oxidase)

๔. ปฏิกิริยาการเกิดสีน้ำตาลที่ไม่ได้มาจากเอนไซม์ (Non-Enzymatic Browning)

ปฏิกิริยาการเกิดสีน้ำตาลที่ไม่ได้มาจากเอนไซม์ เป็นปฏิกิริยาที่จะเกิดขึ้นเมื่อผลิตภัณฑ์ได้รับความร้อน ทำให้มีการสูญเสียน้ำ มีการสลายตัว และมีปฏิกิริยาการรวมตัว พัฒนาเป็นสารสีเหลืองจนถึงสีน้ำตาลและน้ำตาลแดงมีกลิ่นและรสชาติเฉพาะ ปฏิกิริยาฐานะแบบนี้สามารถจำแนกย่อยออกได้เป็น ๒ แบบ คือ การเกิดการแรมไอลเซชัน (Caramelization) และปฏิกิริยาเมลาร์ด (Maillard Reaction)

๔.๑ การเกิดการแรมไอลเซชัน (Caramelization)

การแรมไอลเซชันเป็นการให้ความร้อนสลายโมเลกุลให้แยกออกจากและเกิดโพลีเมอไรเซชันของสารประกอบคาร์บอนได้เป็นสารสีน้ำตาล ปฏิกิริยานี้สารเริ่มต้นเป็นน้ำตาลเท่านั้น เมื่อน้ำตาลได้รับความร้อนจะสูญเสียน้ำจากโมเลกุลและหากบังคับให้ความร้อนต่อไปจะเกิดสารสีดำไม่ละลายน้ำและไม่แพร่กระจายเรียกว่าการเมลิน (Caramelin) สารสีที่เกิดจากปฏิกิริยาการแรมไอลเซชันของน้ำตาลอxy่างเดียวประกอบด้วยการบูรน ไฮโรเจน และออกซิเจน เรียก カラเมล (Caramel)

๔.๒ การเกิดปฏิกิริยาเมลาร์ด (Maillard Reaction)

เมลาร์ดเกิดขึ้นเมื่อน้ำตาลแอล朵ฟาร์ก็โอดาซึ่งเป็นน้ำตาลรีดิวชั่งได้รับความร้อนในภาวะที่มีน้ำกับเอมีน จะทำให้เกิดสารประกอบต่างๆ ซึ่งมีผลต่อสี กลิ่นและรสชาติของอาหาร

การยับยั้งปฏิกิริยาการเกิดสีน้ำตาล

การยับยั้งปฏิกิริยาการเกิดสีน้ำตาลที่เร่งด้วยเอนไซม์ในผักผลไม้นั้นมีผลทำให้สีผลิตภัณฑ์เปลี่ยนไปรวมทั้งรสชาติผลไม้ อาจมีผลทำให้คุณภาพลดลงไม่เป็นที่ยอมรับของผู้บริโภค การควบคุมไม่ให้เกิดปฏิกิริยาการเกิดสีน้ำตาลที่เร่งด้วยเอนไซมนี้ทำได้หลายวิธีจะต้องเลือกใช้ให้เหมาะสมกับผักและผลไม้แต่ละชนิด โดยอาจแบ่งได้หลายประเภท เช่น อุณหภูมิ การใช้ความดัน การควบคุมหรือดัดแปลงส่วนประกอบของอากาศ และการใช้สารเคมี ในส่วนของงานวิจัยนี้ได้รวบรวมแนวทางการยับยั้งปฏิกิริยาการเกิดสีน้ำตาลด้วยอุณหภูมิ ๒ วิธี คือ

๑. การใช้ความร้อนทำลายเอนไซม์ เนื่องจากส่วนประกอบที่สำคัญของเอนไซม์ คือ โปรตีน ซึ่งจะเสียสภาพเมื่อได้รับความร้อนที่สูง ดังนั้นการลวกด้วยน้ำหรือไอน้ำจึงสามารถทำลายเอนไซม์ได้ระดับความร้อนที่ใช้ก่อนหน้าและทำการทำลายเนื้อเยื่อทำให้สูญเสียลักษณะเนื้อสัมผัส สูญเสียน้ำและสารอาหารที่ละลายในน้ำได้

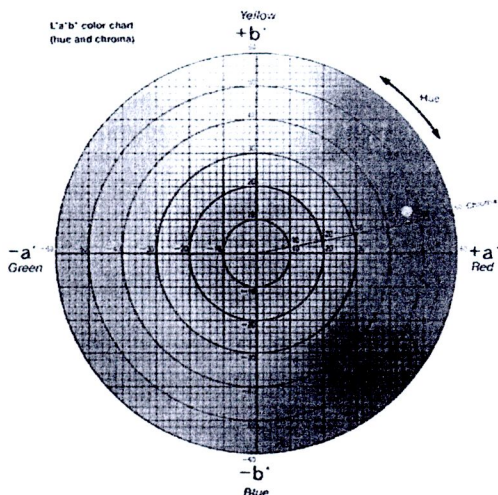
2. การใช้อุณหภูมิตำ่ อุณหภูมิตำ่สามารถดูผลของการเกิดปฏิกิริยาการเกิดสีน้ำตาลได้ โดยจะช่วยในการทำงานของเอนไซม์ลง การใช้อุณหภูมิตำ่มีจุดประสงค์เพื่อลดอัตราการเมตานอลสีน้ำตาลให้น้อยที่สุด โดยอุณหภูมิตำ่นั้นไม่เป็นอันตรายต่อพืช และลดอัตราการเจริญของจุลินทรีย์ให้น้อยลง การใช้อุณหภูมิตำ่จึงสามารถลดการเกิดปฏิกิริยาต่างๆ แต่ในผักผลไม้ต่างชนิดมีความต้องการอุณหภูมิตำ่ที่เหมาะสมในการเก็บรักษาต่างกัน

ระบบค่าของสี (Color System)

ในการบอกค่าสีของอาหารเรานิยมนบอกชื่อของสี เช่น แดง เหลือง เขียว เป็นต้น หรือเพิ่มคำอธิบายรายละเอียดเพิ่มเติม เช่น อ่อน เข้ม จาง สด หรือใช้คำเปรียบเทียบกับสีที่คุ้นเคย เช่น เขียวใบตองอ่อน เขียวใบเตย ขาวอกนวล น้ำตาลซอกโภคแลด และอาจจะเพิ่มความรู้สึกทางด้านจิตใจเสริมด้วย เช่น ขาวบริสุทธิ์ แดงสดใส เหลืองอร่าม ซึ่งการบอกค่าของสีด้วยวิธีการดังกล่าว ไม่สามารถนำมาใช้เมื่อเราต้องการใช้ค่าของสี เป็นปัจจัยในการควบคุมคุณภาพอาหาร หรือควบคุมกระบวนการผลิต ดังนั้นจึงต้องมีระบบค่าของสีซึ่งเป็นที่เข้าใจตรงกันโดยระบบค่าของสีที่ใช้เป็นมาตรฐานสากล และนิยมใช้ในการบอกค่าสีของอาหาร คือ

การวัดสีระบบ Commission International de l'Eclairage CIE Lab scale ในระยะเริ่มแรก CIE ได้กำหนดสแกลการวัดสีเป็น $L^*-a^*-b^*$ ซึ่งเป็นระบบการบรรยายสีแบบ 3 มิติ โดยที่แกน L^* จะบรรยายถึงความสว่าง (Lightness) จากค่า $+L^*$ แสดงถึงสีขาว จนไปถึง $-L^*$ แสดงถึงสีดำ แกน a^* จะบรรยายถึงแกนสีจากเขียว ($-a^*$) ไปจนถึงแดง ($+a^*$) ส่วนแกน b^* จะบรรยายถึงแกนสีจากน้ำเงิน ($-b^*$) ไปเหลือง ($+b^*$) ลักษณะการบรรยายสีของ CIE ดังแสดงในรูป 2.5

การวัดสีระบบ Hunter Lab Scale ซึ่งบรรยายแกนใน 3 มิติเช่นเดียวกับระบบ CIE โดยที่ Hunter Lab จะใช้สแกล $L-a-b$ บรรยายลักษณะสีเช่นเดียวกับ $L^*-a^*-b^*$ ของ CIE ข้อแตกต่างระหว่างระบบสีของ CIE และ Hunter Lab คือ ศูนย์การคำนวณค่าสี



รูป 2.5 การบรรยายสีในระบบ CIE Lab มองในระนาบ 2 มิติ: Hue บรรยายถึงเฉดสี และ Chroma บรรยายถึงความมันวาวหรือความเข้มของโทนสี. ที่มา: Minolta, 1997.

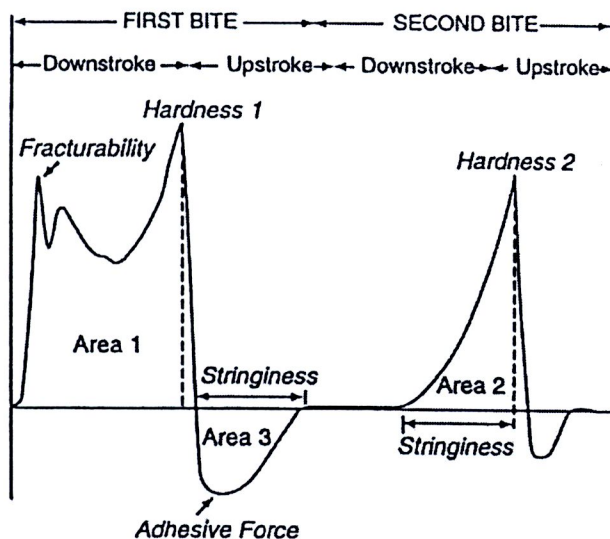
3. ลักษณะเนื้อสัมผัส

ลักษณะทางเนื้อสัมผัสในอาหารเป็นผลประกอบกันของคุณสมบัติทางเคมี และกายภาพ ซึ่งรวมไปถึง ขนาดปริ่ง จำนวน และการจัดเรียงตัวของโครงสร้างของสารนั้นๆ ดังนั้nlักษณะเนื้อสัมผัสของอาหารจึงมีความจำเป็นและสำคัญอย่างมากต่อการยอมรับของผู้บริโภค ลักษณะเนื้อสัมผัสอาหารใช้เป็นตัวชี้ถึงลักษณะ ส่วนประกอบและโครงสร้างภายในอาหาร ซึ่งคุณภาพสำคัญของผลิตภัณฑ์ได้แก่ ความเหนียวแน่นหรือความยืดหยุ่น รวมทั้งความแข็งและลักษณะเนื้อสัมผัส แบบต่างๆ เป็นลักษณะที่ชับช้อน ซึ่งอาจใช้ความรู้สึกโดยสัมผัสดวงปาก (Mouth Feeling) หรือมีเทคนิคการวัดแบบ Mechanical Analysis Test เช่น Compression Test, Stress Relaxation Tests, Creep Tests และ Dynamic Mechanical Analysis Test ซึ่งค่าที่วัดได้จะอยู่ในรูปของ Applied Force แบบต่างๆ เช่น Stress, Strain, Shear Force, Rupture Force หรือ Elastic Modulus สามารถแบ่งค่า นี้เป็นความเหนียว ความแข็ง หรือความกรอบได้ โดยวิธี Texture Profile Analysis

การวิเคราะห์โปรไฟล์ของเนื้อสัมผัส (Texture Profile Analysis, TPA)

การวิเคราะห์โปรไฟล์ของเนื้อสัมผัส เป็นวิธีทดสอบที่เลียนแบบการเคี้ยวของมนุษย์ หรือ เลียนแบบสภาพที่อาหารถูกกระทำภายในปาก ขณะอยู่บนขา หรือในภาชนะที่บรรจุอาหาร ซึ่ง กราฟเป็นความสัมพันธ์ระหว่างค่าของแรงกับระยะเวลาที่ใช้ในการจำลองการบดเคี้ยว โดยการทดสอบจะกดตัวอย่างจำนวน 2 ครั้ง จะได้กราฟแรงกับเวลาที่มีค่า peak ที่เป็นบวก 2 ค่า ดังรูป 2.6 การกดครั้งแรก หมายถึง การกดอาหารครั้งแรก (first bite) จุดสูงที่สุดในช่วงนี้ คือ

1. Fracturability (การแตกหัก) คือ แรงที่ทำให้ตัวอย่างแตกหัก จะต้องเป็นผลิตภัณฑ์ที่มีค่าความแข็ง (hardness) พอสมควรและมีการเกาะรวมตัวกัน (cohesiveness) ต่ำ จุดที่เกิดค่านี้คือจุดที่แรงกดดลลงในช่วงการกดครั้งแรกด้วย probe
2. Hardness (ความแข็ง) คือ แรงที่สูงสุดของการกดครั้งแรกใช้ในการทำให้ตัวอย่างเสียรูป แรงที่ใช้ในการกดตัวอย่างระหว่างพื้น地面เพื่อเปลี่ยนรูปร่างตัวอย่าง
3. Springiness (ความยืดหยุ่น) อัตราของการคืนรูปของวัสดุหลังจากการถูกกดทำให้เสียรูป จากการกดในครั้งแรก
4. Cohesiveness (ความสามารถเกาะรวมตัวกัน) ข้อมูลของวัสดุที่สามารถทนทานต่อการทำให้เสียรูปจากการกดครั้งแรก หรือเกิดการแตกหักของการเกาะรวมกันหรือยึดกันในชั้นตัวอย่าง
5. Chewiness (การทนต่อการเคี้ยว) แรงที่ใช้ในการเคี้ยวหรือบดตัวอย่างจนกระหั่งเสียรูป โดยเป็นตัวอย่างที่มีลักษณะของความแข็ง (hardness) การเกาะตัวรวมกัน (cohesiveness) และความยืดหยุ่น (springiness) ระยะเวลานานที่ใช้ในการเคี้ยวบด ตัวอย่างที่เป็นของแข็งในอัตราการเคี้ยวที่คงที่จะกระหั่งสามารถที่จะกลืนได้
6. Gumminess (ความเหนียวเป็นยางหรือกาว) แรงที่ต้องใช้ในการแยกตัวอย่างที่เป็นก้อนของแข็งจนกระหั่งเสียรูป โดยเป็นตัวอย่างที่มีความแข็ง (hardness) ต่ำ และมีการเกาะตัวรวมกัน (cohesiveness) สูง พลังงานที่ใช้ในการเคี้ยวตัวอย่างที่เป็นก้อนของแข็งในอัตราการเคี้ยวที่คงที่จะกระหั่งสามารถที่จะกลืนได้
7. Adhesiveness (ความสามารถในการเกาะติดผิววัสดุ) งานที่ใช้ในการอาจน้ำแรงระหว่างพื้นผิวของตัวอย่างกับพื้นผิวของวัสดุอื่นที่ตัวอย่างสัมผัสอยู่แรงที่ใช้ในการเคลื่อนย้ายตัวอย่างที่ติดอยู่ในปาก (โดยปกติคือเศษอาหารในปาก) ในระหว่างกระบวนการเคี้ยว
8. Crispness (ความกรอบ) เป็นความสามารถในการแตกหักของตัวอย่างในการบดเคี้ยว โดยจะหาได้จากจำนวน Peak ของแรงที่ใช้ในการบดเคี้ยว (Number of peak)



รูป 2.6 แสดงการหา Texture Parameter ต่างๆ ใน TPA Curve

ที่มา: http://www.texturetechnologies.com/textured_profile_analysis.html (22 Jan 2006)

2.6 ความรู้ทั่วไปเกี่ยวกับฟักทอง

1. ข้อมูลทั่วไป

ฟักทอง (Pumkin) เป็นพืชผักที่จัดอยู่ในกลุ่มพืชตะครุบแตง (Cucurbitaceae) ซึ่งได้แก่ พักทอง แตงกวา แตงร้าน พักแฟง มะระ บวน แตงโนน แคนตาลูปฯลฯ เป็นพืชดั้งเดิมของโลก ตะวันตก ลักษณะเป็นไม้เดาขนาดใหญ่ เลื้อยตามดิน ยาว 5-12 เมตร เถา ลำก้านใบ แผ่นใบ ก้านดอก กลีบเลี้ยง และผลอ่อนมีขนข้าว ในเป็นใบเดียวเป็นหยอด ดอกเดี่ยว ออกตัวผู้กับตัวเมียแยกกัน แต่ต่ออยู่ในเดาเดียวกัน ผิวผลเมื่อขังอ่อนออกสีเขียว เมื่อแก่จะเป็นสีเขียวสว่างเหลือง ปกติฟักทองเมื่อ แก่จัดจะมีสีเหลืองอมส้ม ผิวเรียบ เปลือกแข็ง เนื้อในสีเหลือง ไส้เดือนไขสีเหลืองนิ่ม มีเมล็ดสีขาว แบบ ๆ ติดอยู่จำนวนมาก ปลูกได้ทั่วไปทั้งในเขตร้อนและเขตหนาว ฟักทองมีการใช้สูง อุดมด้วย วิตามินเอ วิตามินบี วิตามินซี และวิตามินบี 6 โปรตีนและไขมันสูง มี “กรดโปรไพรอนิก” กรดนี้ทำให้เซลล์มะเร็ง อ่อนแอลง ในเนื้อฟักทองมีแคโรทีนและแป้ง เป็นพืชผักที่มีราคาถูก นิยมน้ำมานเป็นส่วนประกอบใน อาหาร และนำไปทำของหวานเป็น อาหารว่าง ใช้แต่งสีขนม เช่น ขนมฟักทอง ลูกชูบ โภชนาณ น้ำส้มสายชู สุกมายกับแป้งหรือถั่ว กวน ยอดอ่อนนำมารากจืดน้ำพริก หรือใส่แกงเลี้ยง แกงส้ม แกงส้ม เป็นต้น เนื้อใช้ทำอาหารได้ทั้งภาชนะ ห้องครัว-แกง-ขนม และใช้เป็นอาหารเสริมในเด็กเล็ก รวมทั้งคัดแปลงมาใช้ประโยชน์หรือปั่นในขนมต่างๆ ทำให้มีสีสันสวยงาม และมีคุณค่าทางอาหาร มากยิ่งขึ้น

แหล่งปลูกพักทอง ในประเทศไทย มีหลายจังหวัด แต่ที่ปลูกมากคือ ศรีสะเกษ, ศอกนคร, ขอนแก่น, กาญจนบุรี, ชุมพร และฉะเชิงเทรา ซึ่งจะทยอยกันให้ผลผลิตออกมากสู่ห้องตลาด ทำให้มีพักทองขายตลอดทั้งปี

ลักษณะทางพุฒศาสตร์ พักทองเป็นพืชผักที่มีลำต้นทอดและเลื้อยไปตามพื้นดิน เช่นเดียวกับแตงโม มีดอกสีเหลือง ทั้งตัวผู้และตัวเมียจะแยกกันแต่อยู่ในต้นเดียวกัน ดังนั้น จึงต้องการช่วยผสมเกสร โดยวิธีธรรมชาติ เช่น ลมพัด หรือมีแมลงผสมเกสร หรือผู้ปลูกช่วยผสมเกสร เพื่อการติดผล เป็นไม้เดาอ่อน มีขนสากมือ มีหนวดสำหรับเก็บพันธุ์ไปตามพื้นดิน จึงต้องการเนื้อที่ปลูกมากกว่าพืชผักอื่นๆ เป็นพืชใบเลี้ยงคู่ที่มีอายุปีเดียว (ฤดูเดียว) เมื่อให้ผลแล้วก็ตายไป มีหลายพันธุ์ทั้งแบบต้นเลื้อยและเป็นพุ่มเดียว พันธุ์เบาเมื่ออายุเกินเก็บประมาณ 50 - 60 วัน ส่วนพันธุ์หนักมีอายุตั้งแต่หยอดเมล็ดจนติดผลอ่อน 45 - 60 วันและให้ผลแก่เมื่อ 120 - 180 วัน โดยทยอยเก็บผลได้หลายครั้งจนหมดผล

พันธุ์พักทอง มีพันธุ์พื้นเมืองหลายพันธุ์ เริ่กตามลักษณะของผล เช่น พันธุ์ข่องปลา จะมีลักษณะของผลกล้ายข่องปลา, พันธุ์ผลมะพร้าว จะมีลักษณะผลกล้ายมะพร้าว เป็นต้น

พักทองพันธุ์คำ เมื่อแก่เปลือกจะมีสีเขียวเข้มลงคำ เปลือกจะขรุขระเป็นปุ่มปุ่ม กล้ายผิว กางคก (บางทีก็เรียกพันธุ์คงคก) ก้านของผลบุบเข้าไปในผล ทำให้ปอกเปลือกยาก แต่เป็นพันธุ์หนักผลโโค

พักทองพันธุ์น้ำตก ผิวจะไม่ค่อยขรุขระนัก ก้านของผลจะบุบออกน้ำ ทำให้ปอกเปลือกง่าย ผลเล็กกว่าพันธุ์คำเล็กน้อย พันธุ์พักทองนี้ จะมีชื่อเรียกแต่ละท้องถิ่นไม่เหมือนกัน มีขนาดครู่ร่างสีเปลือกผล และเนื้อคั้นแตกต่างกันไป พันธุ์เบาให้ผลเล็ก อายุเกินเก็บ 120 - 180 วัน โดยทยอยเก็บผลได้เรื่อยๆ 4 - 5 ครั้ง ต้นหนึ่งๆ จะให้ผลได้ 4 - 5 ผล หรือมากกว่าถึง 7 ผล

การเก็บเกี่ยวผลพัฒนา พักทองเป็นพืชผักที่แมลงไม่ค่อยชอบทำลายเมื่อผลแก่เก็บเกี่ยวไว้เลย โดยสังเกตสีเปลือก สีจะกลมกลืนเป็นสีเดียวกัน ไม่แตกต่างกันมากนักคุณลักษณะเด่นทั้งผล คือมีน้ำดี ชื้นดังแต่ข้าวไปจนตลอดก้านผล แสดงว่าแก่จัด การเก็บควรเหลือข้าวติดไว้ด้วยสักพอน้ำหนามเพื่อช่วยให้เก็บรักษาได้นานขึ้น สามารถเก็บผลไว้รอบขาก หรือบริโภคได้นานๆ โดยไม่ต้องใส่ตู้เย็น

การให้ผลผลิต จะทยอยเก็บผลได้ 5 - 6 ครั้ง เก็บได้เรื่อยๆ ถ้าปลูกเดือนกุมภาพันธ์จะเก็บผลได้ในเดือนมิถุนายน (พันธุ์หนัก) ทยอยเก็บไปได้เรื่อยๆ จนเดือนกรกฎาคม ต้นหนึ่งถึง 5 - 7 ผล 1 ไร่ ให้ผลผลิตประมาณ 1 - 1.5 ตัน ถ้าดูแลรักษาดีปุ่ยดีจะให้ถึง 2 ตัน (น้ำหนักสด) ถ้าพันธุ์เบาปลูกได้ 50 - 60 วัน ก็เก็บผลได้

การใช้ประโยชน์และคุณค่าทางอาหาร

ฟักทองมีสารสังเคราะห์จากพืชประเภทแครอทในอยด์ เช่น เบต้าแคโรทิน ซึ่งมีคุณสมบัติเป็นสารต้านอนุมูลอิสระ ซึ่งมีอยู่ในเนื้อสีเหลืองของฟักทอง มีส่วนช่วยลดโอกาสการเกิดมะเร็งได้ หากกินฟักทองทั้งเปลือกจะได้ฤทธิ์ทางยา สามารถกระตุ้นการหลั่งอินซูลินซึ่งช่วยควบคุมระดับน้ำตาลในเลือด ป้องกันการเกิดเบาหวาน ความดันโลหิต นอกจากนี้ยังช่วยบำรุงตับ ไต นัข์ดา และสร้างเซลล์ใหม่ทดแทนเซลล์ที่ตายไป

นอกจากนี้ยังเป็นพืชผักที่มีมากใบมากพอสมควร ดังนั้นจึงช่วยให้ระบบย่อยอาหารดีขึ้น และไม่ทำให้อ้วน เพราะมีแคลอรีไม่สูงมาก ผู้ที่ต้องการมีรูปร่างสวยงามควรบริโภคเป็นประจำและฟักทองยังมีวิตามินสูงซึ่งช่วยเสริมสร้างคอลลาเจนให้ผิวนางทำให้ผิวพรรณมีน้ำมีวาว และสายตาอีกด้วย ฟักทองเหมาะสมสำหรับศตวรรษหลังคลอดบุตร เนื่องจากขาดธาตุฟอสฟอรัสและที่สำคัญเสี่ยงกับการเกิดหน้าท้องลาย มีฤทธิ์อ่อน ช่วยย่อยอาหาร ทำให้ กระเพาะอุ่น บำรุงกำลัง ลดอาการอักเสบ แก้ปวด

ตารางที่ 2.2 คุณค่าทางโภชนาการของฟักทอง (ส่วนที่รับประทานได้ 100 กรัม)

สารอาหาร/หน่วย	เม็ดฟักทอง	เนื้อฟักทอง	ยอดฟักทอง
พลังงาน (แคลอรี่)	124	43	16
โปรตีน (กรัม)	2.9	1.9	2.0
คาร์โบไฮเดรต (กรัม)	24.6	8.5	1.6
ไขมัน (กรัม)	1.5	0.2	0.2
แคลเซียม (มิลลิกรัม)	7	21	6
ฟอสฟอรัส (มิลลิกรัม)	17	17	9
เหล็ก (กรัม)	1.9	4.9	1.2
วิตามินเอ (มิลลิกรัม)	3,200	3,266	4,083
วิตามินบี 1 (มิลลิกรัม)	0.10	0.10	0.08
วิตามินบี 2 (มิลลิกรัม)	0.04	0.05	0.18
ไนอาซีน (มิลลิกรัม)	1.0	1.0	1.4
วิตามินซี (มิลลิกรัม)	84	52	41

ที่มา : <http://dnfe5.nfe.go.th/ilp/occupation/45305/45305-1.html>

ตารางที่ 2.3 ปริมาณเบต้าแครอทินจากพืชผัก 100 กรัม

พืช	ไมโครกรัม
แครอท	5,330
ผักปวยเล้ง	3,535
มะม่วงสุก	2,000
มะละกอสุก	810
มะเขือเทศ	620
บร็อกโคลี	575
ฟักทอง	450

จากตารางที่ 2.3 เป็นตารางแสดงปริมาณเบต้าแครอทินที่เป็นสารต่อต้านอนุมูลอิสระ และเปลี่ยนเป็นวิตามินเอ (ตามจำนวนที่ร่างกายต้องการ) ในพืชผัก 100 กรัม จะให้เบต้าแครอทินเป็นจำนวนไมโครกรัมซึ่งฟักทองจะให้ปริมาณเบต้าแครอทิน 450 ไมโครกรัม

สารเบต้าแครอทิน

ในส่วนของเบต้าแครอทินมักจะพบในผัก ผลไม้ที่มีสีสัน เหลือง หรือแดง อ่อนๆ เช่น มะเขือเทศ แตงโม ข้าวโพดอ่อน แคนตาลูป มะละกอสุก แครอท พักทอง และผักใบเขียวอย่าง กระนา ผักบูร บล็อกโคลี ในทางวิทยาศาสตร์ค้นพบว่า สูตรโครงสร้างทางเคมีของเบต้าแครอทินเป็นสูตรโครงสร้างทางเคมีที่มีขนาดใหญ่มาก เมื่อเรากินเข้าไปดับจะทำหน้าที่เปลี่ยนโน้มเลกุลของเบต้าแครอทินให้กลายเป็นวิตามินเอ และสำหรับเบต้าแครอทิน 1 โมเลกุล จะสามารถให้วิตามินเอ 2 โมเลกุล เบต้าแครอทินเป็นสารอาหารชนิดหนึ่งที่ถูกค้นพบว่ามีคุณสมบัติในการทำลายอนุมูลอิสระได้อย่างดี เลิศ โดยพบว่าเบต้าแครอทินจะทำปฏิกิริยาต้านการเกิดอ้อกซิเดชั่นระหว่างอนุมูลอิสระกับสารสำคัญในเซลล์ที่มีชีวิต โดยแข่งกับปฏิกิริยาต้านอนุมูลอิสระเสียก่อน แล้วขับถ่ายออกไปตามระบบขับถ่ายต่างๆ ของร่างกาย เซลล์ของเราเก็บรอดชีวิตจากกระบวนการในการทำลายโดยอนุมูลอิสระ ดังกล่าว เราเรียกกระบวนการในการแข่งกับปฏิกิริยาของเบต้าแครอทินกับอนุมูลอิสระว่า การต้านปฏิกิริยาอ้อกซิเดชั่น หรือเอนตี้อ้อกซิเดนน์เอง

เบต้าแครอทิน คือสารสำคัญในผักผลไม้ที่มีฤทธิ์ต้านมะเร็งและยังช่วยกระตุนร่างกายให้สู้ กับเนื้อร้าย คำว่า “แครอทิน” ได้ชื่อจากแครอท เพราะแครอทินเป็นสารสีเหลืองส้มที่มีมากในแคร

รอง พืชผักผลไม้มีนานามายมีสารแครอทีนและสารแครโตรีนก็มีกว่าห้าร้อยชนิดรวมกันเรียกว่าแครอทีนอยด์ (Carotenoids)

แครอทีน คือ สารสำคัญที่ร่างกายนำไปสร้างวิตามินจากสัตว์ เช่น ตับและน้ำนม และจากพืชสีเหลืองและเขียวเข้ม โดยสารแครอทีนในพืชถูกเปลี่ยนเป็นวิตามินเอในร่างกายมนุษย์ ซึ่งงานวิจัยนานาประเทศแสดงความสัมพันธ์ระหว่างมะเร็งกับระดับวิตามินเอในเลือดค่า แครอทีนสามารถทำลายเซลล์มะเร็ง ทำให้ขนาดก้อนมะเร็งลดลงถึง 7 เท่าของขนาดธรรมชาติในหมู่ทดลอง เม็ดแคโรทีนมีพิษโดยตรงต่อเซลล์มะเร็งชนิด Squamous Carcinoma Cells ที่ตัดจากก้อนเนื้อ แครอทีนลดการขยายตัวของก้อนมะเร็งในปอดและกระตุ้นการทำงานของเอนไซม์ในการต้านมะเร็ง (Carrot, <http://www.orst.edu/Dept/NWREC/carrot.html> Commercial Vegetable)

เบต้าแครอทีนจะเปลี่ยนแปลงในกระแสเลือดภายในอวัยวะเป็นกรดเดติโนอิกซิงใช้เป็นสารต้านมะเร็งซึ่งจะถูกสะสมไว้ในปอด ตับ ไต และชั้นไขมัน ซึ่งสามารถเปลี่ยนเป็นกรดเดติโนอิกทันทีที่ร่างกายต้องการ ความร้อนทำให้เบต้าแครอทีนเปลี่ยนแปลงโครงสร้างและถูกคุกคามได้ชั้น

2.7 สมการ diffusion ของการอบแห้ง

2.7.1 สมการ diffusion ของการอบแห้งทางทฤษฎี

การอบแห้งวัสดุที่มีโครงสร้างภายในเป็นรูพรุน โดยส่วนใหญ่ในช่วงอัตราการอบแห้งลดลง การเคลื่อนที่ของน้ำส่วนมากจะอยู่ในรูปของเหลว เป็นผลมาจากการแตกต่างของความเข้มข้นของความชื้น (Vapor diffusion) ที่เป็นไปในลักษณะการแพร่ของน้ำภายในวัสดุ การถ่ายเทมวลภายในอธินายได้ด้วยสมการการแพร่ความชื้นโดยอาศัยกฎข้อที่ 2 ของ Fick

$$\frac{\partial M}{\partial t} = \nabla^2 DM \quad (2.1)$$

เมื่อ	M	คือ ความชื้นของวัสดุ, เศษส่วนมาตรฐานแห้ง
	D	คือ ค่าสัมประสิทธิ์การแพร่ความชื้นโดยรวม, m^2/h
	t	คือ เวลา, h

ถ้าพิจารณาการถ่ายเทมวลในทิศทาง x, y และ z ซึ่งตั้งฉากกันและกันและตั้งสมมูลฐาน ว่าค่าสัมประสิทธิ์การแพร่ไม่ขึ้นกับปริมาณความชื้นในวัสดุ (ค่าสัมประสิทธิ์การแพร่องที่) จะได้ว่า

$$\frac{\partial MR}{\partial t} = D \left[\frac{\partial^2 MR}{\partial x^2} + \frac{\partial^2 MR}{\partial y^2} + \frac{\partial^2 MR}{\partial z^2} \right] \quad (2.2)$$

$$\text{โดย} \quad MR = \frac{(M - M_{eq})}{M_{in} - M_{eq}} \quad (2.3)$$

เมื่อ MR กีอ อัตราส่วนความชื้นของวัสดุ
 M_{in} กีอ ความชื้นเริ่มต้นของวัสดุ, เศษส่วนมาตรฐานแห่ง¹
 M_{eq} กีอ ความชื้นสมดุลของวัสดุ, เศษส่วนมาตรฐานแห่ง¹

การหาคำตอบของสมการ (2.2) ต้องกำหนดสภาวะเริ่มต้นและสภาวะขอบเขตดังนี้

$$M(x, y, z, 0) = M_{in} \quad (2.4)$$

$$M(x, z, 0, t) = M(x, 0, z, t) = M(0, y, z, t) = M_{eq}$$

$$M(x, y, l_z, t) = M(x, l_y, z, t) = M(l_x, y, z, t) = M_{eq} \quad (2.5)$$

เมื่อ l_x กีอ ความกว้าง, m
 l_y กีอ ความหนา, m
 l_z กีอ ความยาว, m

หาคำตอบของสมการ (2.2) โดยการแยกตัวแปรจะได้สมการการแพร์ของความชื้นในวัสดุปูทรงสี่เหลี่ยมลูกบาศก์จะได้

$$\overline{MR} = \left[\frac{8}{\pi^2} \right]^3 \sum_{i=0}^{\infty} \sum_{j=0}^{\infty} \sum_{k=0}^{\infty} \left[\frac{1}{(2i+1)^2} \frac{1}{(2j+1)^2} \frac{1}{(2k+1)^2} \right] \exp \left[- \left[\frac{(2i+1)^2}{l_x^2} + \frac{(2j+1)^2}{l_y^2} + \frac{(2k+1)^2}{l_z^2} \right] \pi^2 D t \right] \quad (2.6)$$

เมื่อ \overline{MR} กีอ อัตราส่วนความชื้นเฉลี่ย
 D กีอ สัมประสิทธิ์การแพร์ความชื้น, m^2/h
 i, j, k กีอ จำนวนเต็มมีค่า 0, 1, 2, 3....

ตารางที่ 2.4 แสดงสรุปสมการจานเพลศาสตร์ของการอบแห้งวัสดุรูปทรงต่างๆ

รูปทรง	สมการ
ทรงสี่เหลี่ยม ลูกบาศก์	$\overline{MR} = \left[\frac{8}{\pi^2} \right]^3 \sum_{i=0}^{\infty} \sum_{j=0}^{\infty} \sum_{k=0}^{\infty} \left[\frac{1}{(2i+1)^2} \frac{1}{(2j+1)^2} \frac{1}{(2k+1)^2} \right] \exp \left[- \left[\frac{(2i+1)^2}{I_x^2} + \frac{(2j+1)^2}{I_y^2} + \frac{(2k+1)^2}{I_z^2} \right] \pi^2 Dt \right]$
ทรงกลม	$\overline{MR} = \left(\frac{6}{\pi^2} \right) \sum_{n=1}^{\infty} \frac{1}{n^2} \exp \left(- n^2 \pi^2 Dt / r^2 \right)$
infinite slab	$\overline{MR}(t) = \frac{8}{\pi^2} \sum_{m=0}^{\infty} \frac{1}{(2m+1)^2} \exp \left[-(2m+1)^2 \pi^2 \frac{Dt}{L^2} \right]$
infinite cylinder	$\overline{MR}(t) = \sum_{n=1}^{\infty} \frac{4}{(\lambda_n r_0)^2} \exp \left[- (\lambda_n r_0)^2 \left(\frac{Dt}{r_0^2} \right) \right]$
ทรงกระบอก ถ้วน	$\overline{MR} = \frac{32}{\pi^2} \sum_{m=0}^{\infty} \sum_{n=1}^{\infty} \left[\frac{1}{(2m+1)^2} \exp \left(-(2m+1)^2 \pi^2 \frac{Dt}{L^2} \right) \right. \\ \left. \left[\frac{1}{(\lambda_n r_o)^2} \exp \left(- (\lambda_n r_o)^2 \left(\frac{Dt}{r_o^2} \right) \right) \right]_x \right]$

ตารางที่ 2.5 สมการแบบจำลองค่า D ของการอบแห้งวัสดุต่างๆ ด้วยลมร้อน

Model	Equation	R ²	MRS	Reference
1	$D = (139.85V - 8.84RH - 1.33VRH + 361.41) \exp \left[- \frac{13121}{RT_{abs}} \right] \times 10^{-7}$ (อุณห์แห้งกล้วย , T= 60 - 100°C , V = 0.5 – 2 m/s , RH = 2 – 26%)	0.95	1.6x10 ⁻³¹	Kunsathtin N. (2010)
2	$D = (111.46V + 255.73) \exp \left[- \frac{12083}{RT_{abs}} - 0.029RH \right] \times 10^{-7}$ (อุณห์แห้งกล้วย , T= 60 - 100°C , V = 0.5 – 2 m/s , RH = 2 – 26%)	0.95	1.4x10 ⁻¹⁷	
3	$D = (0.000047T^2 - 0.011T + 0.28)(-0.11V^2 + 0.64V + 0.72) \\ (-0.01RH^2 + 0.69RH - 18.21) \times 10^{-7}$ (อุณห์แห้งกล้วย , T= 60 - 100°C , V = 0.5 – 2 m/s , RH = 2 – 26%)	0.95	9.5x10 ⁻¹⁸	

2.7.2 สมการลดพอกาสต์การอบแห้งกึ่งทฤษฎี

สมการการอบแห้งกึ่งทฤษฎี สร้างโดยการสมมุติว่าอัตราการอบแห้งภายในตัวของวัสดุ ได้สภาวะคงที่และเป็นสัดส่วนโดยตรงกับความแตกต่างของความชื้นของวัสดุ และความชื้นสมดุล ข้อสมมุติฐานดังกล่าวคล้ายกับการเขียนตัวของนิวตัน ดังสมการ

$$\frac{dM}{dt} = -k(M - M_{eq}) \quad (2.7)$$

เมื่อ k = ค่าคงที่ของการอบแห้ง, h^{-1}

จัดรูปแบบสมการใหม่จะได้

$$\frac{dM}{(M - M_{eq})} = -kdt \quad (2.8)$$

เมื่อกำหนดสภาวะเริ่มต้น $M(0) = M_{in}$ จะได้กำหนดดังสมการ

$$\ln \frac{(M - M_{eq})}{(M_{in} - M_{eq})} = -kt \quad (2.9)$$

$$MR = \frac{(M - M_{eq})}{(M_{in} - M_{eq})} = \exp(-kt) \quad (2.10)$$

ค่าคงที่การอบแห้ง (k) เป็นคุณสมบัติเฉพาะของผลิตภัณฑ์หนึ่งๆ ภายในช่วงสภาวะอบแห้ง และวัสดุอบแห้งที่ทำการทดลองเท่านั้น สมการกึ่งทฤษฎีนี้สามารถใช้ได้ต่อเมื่อวัสดุอบแห้งนี้ ลักษณะใกล้เคียงกับการทดลอง